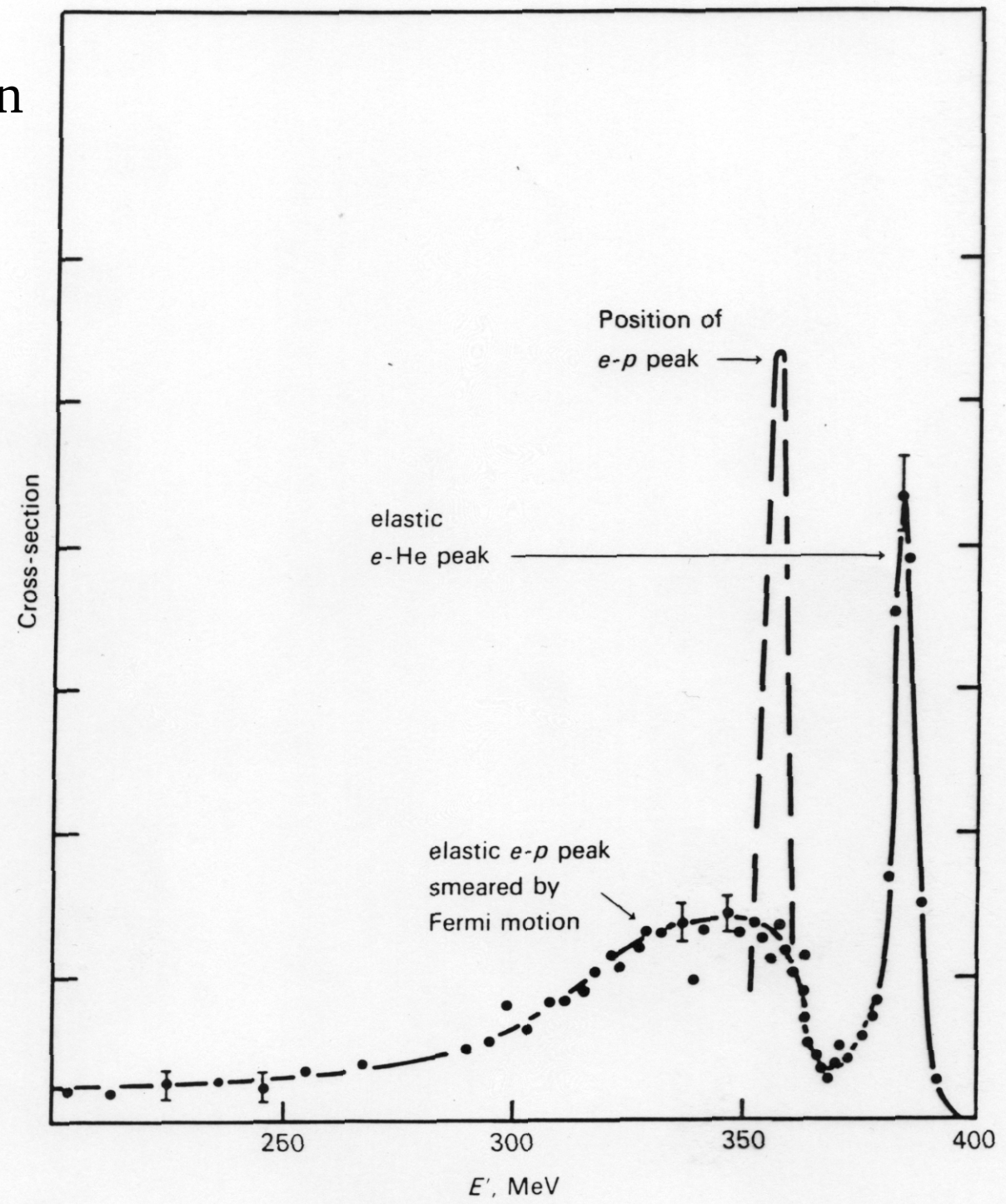
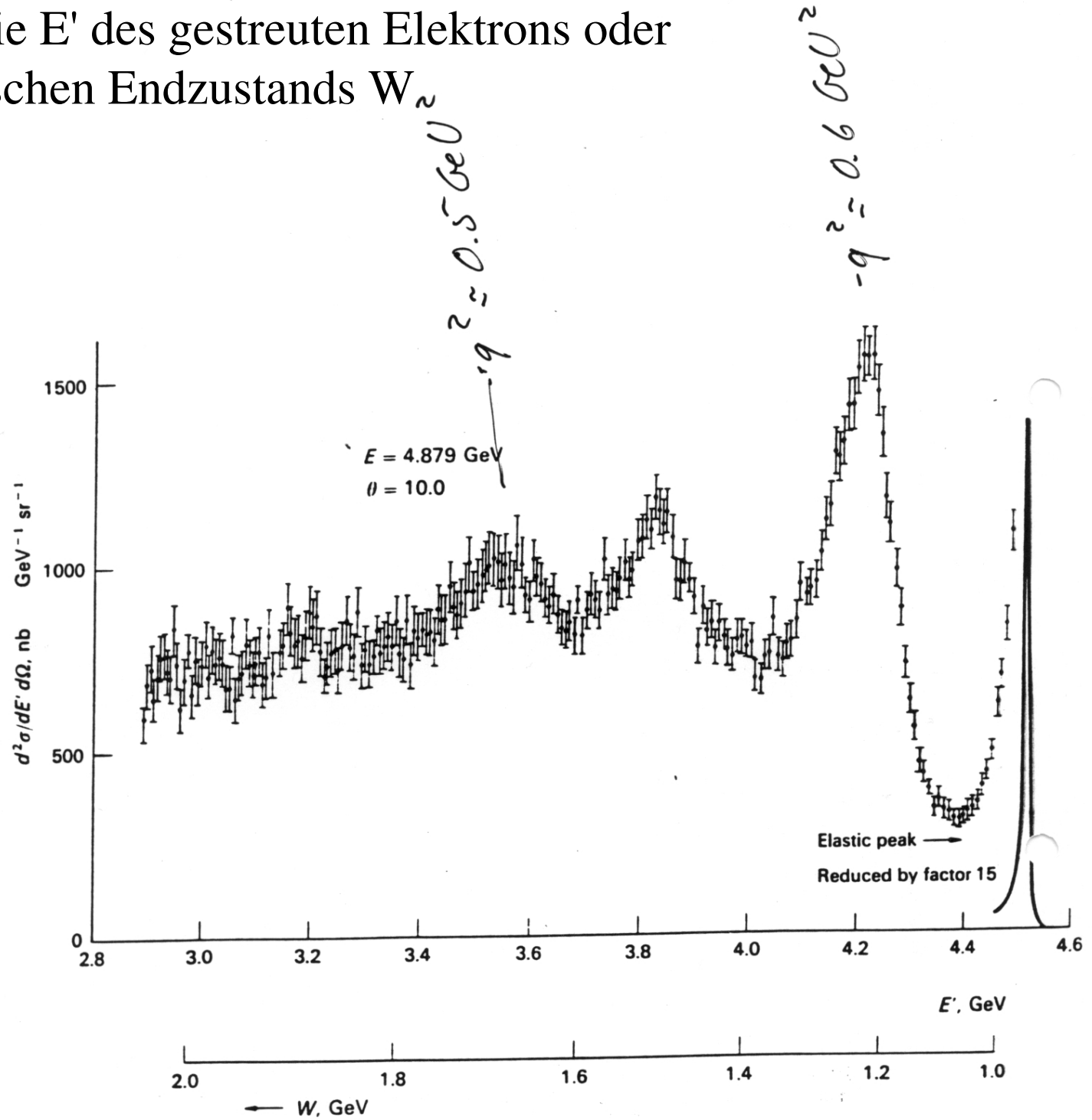


Streuung von 400 MeV Elektronen an Helium unter  $45^\circ$   
als Funktion der  
Energie  $E'$  des gestreuten  
Elektrons



inelastische Elektron-Proton Streuung bei DESY (Bartels 1968)  
 als Funktion der Energie  $E'$  des gestreuten Elektrons oder  
 der Masse des hadronischen Endzustands  $W$



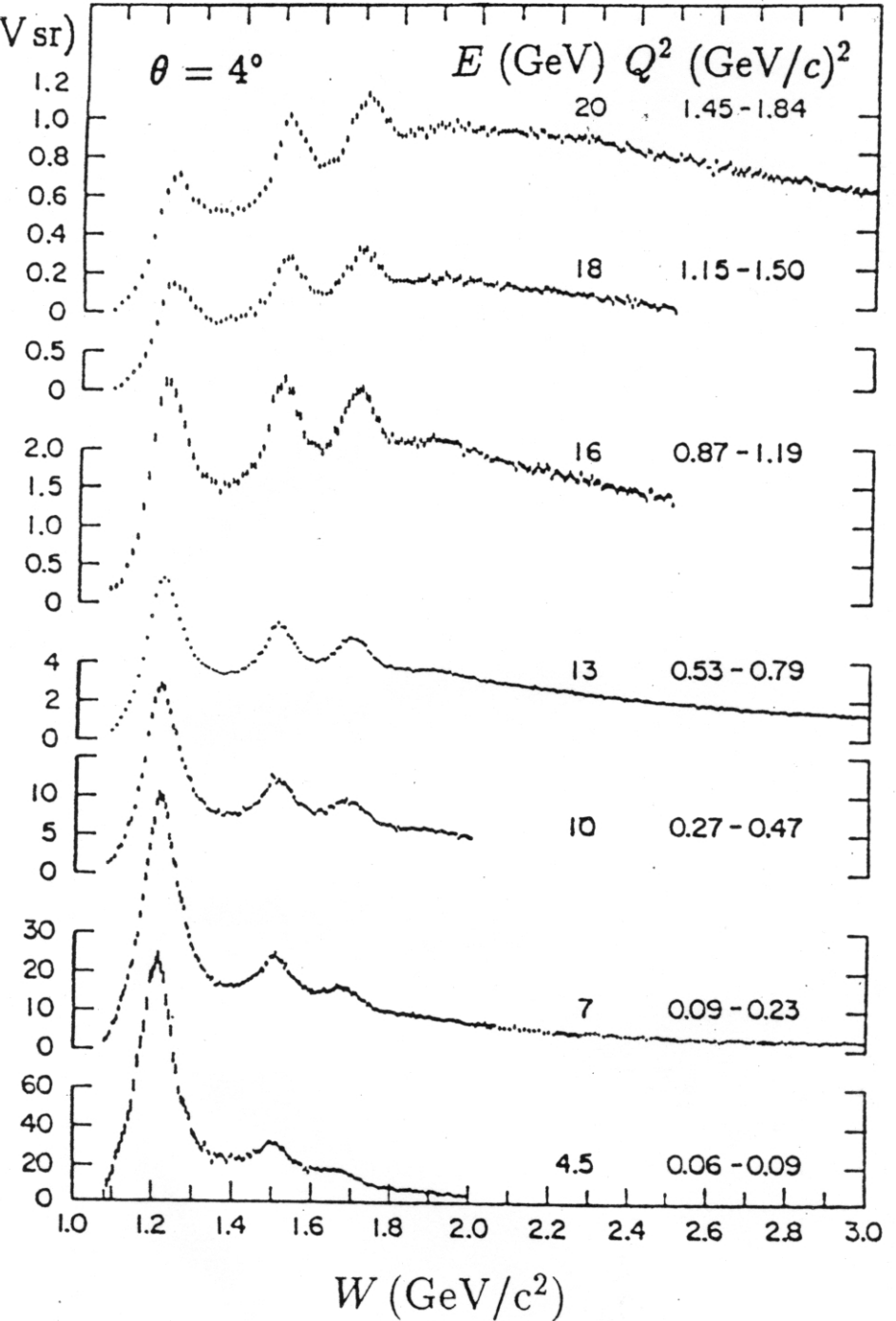
# inelastische Elektron-Proton Streuung als Funktion der invarianten Masse des hadronischen Endzustands für verschiedene Elektron-Energien E

$$\frac{d^2\sigma}{d\Omega dE'} \quad (\mu\text{b}/\text{GeV sr})$$

mit E bei konstantem Winkel  
wächst  $q^2$

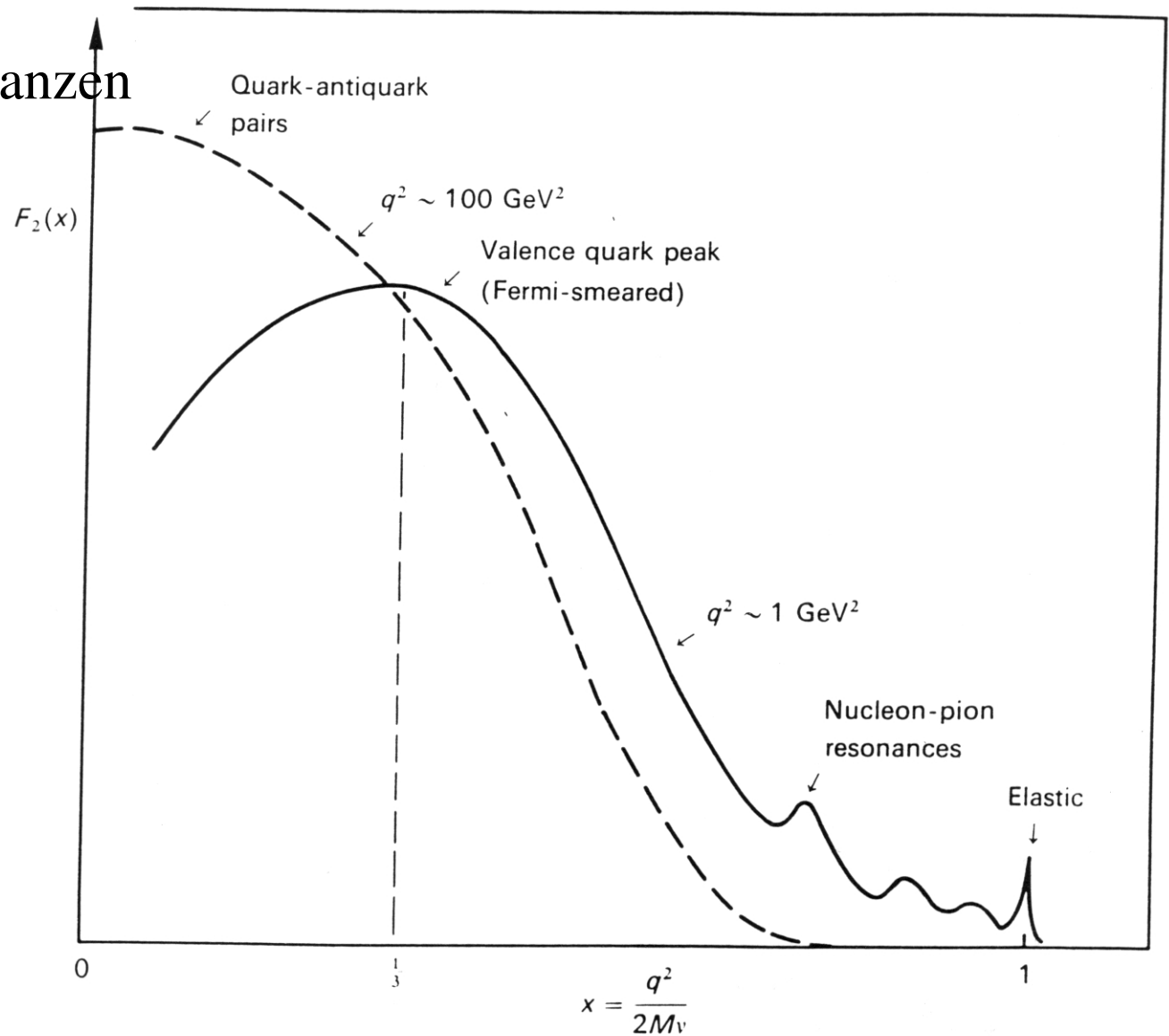
->

Resonanzen immer weniger  
ausgeprägt, aber Kontinuum  
bleibt mehr oder weniger konstant



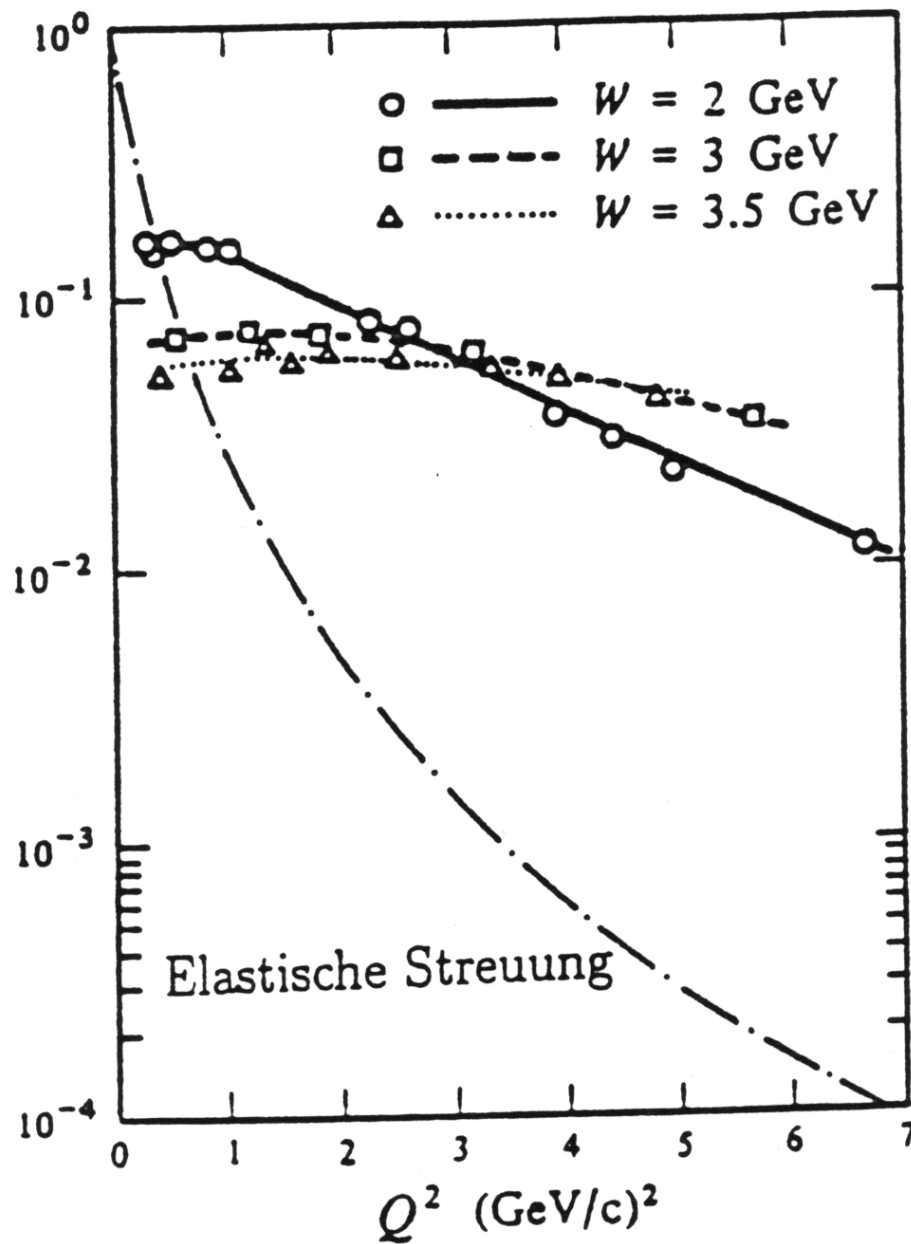
inelastischer Elektron-Nukleon Wirkungsquerschnitt beschrieben durch  
Strukturfunktion  $F_2$  als Funktion der Inelastizität für 2 verschiedene Werte  
von  $q^2$

mit höherem  $q^2$  werden  
elastischer Peak und Resonanzen  
immer mehr unterdrückt  
(Formfaktor)  
und Verteilung verschiebt  
sich zu kleinerem  $x$

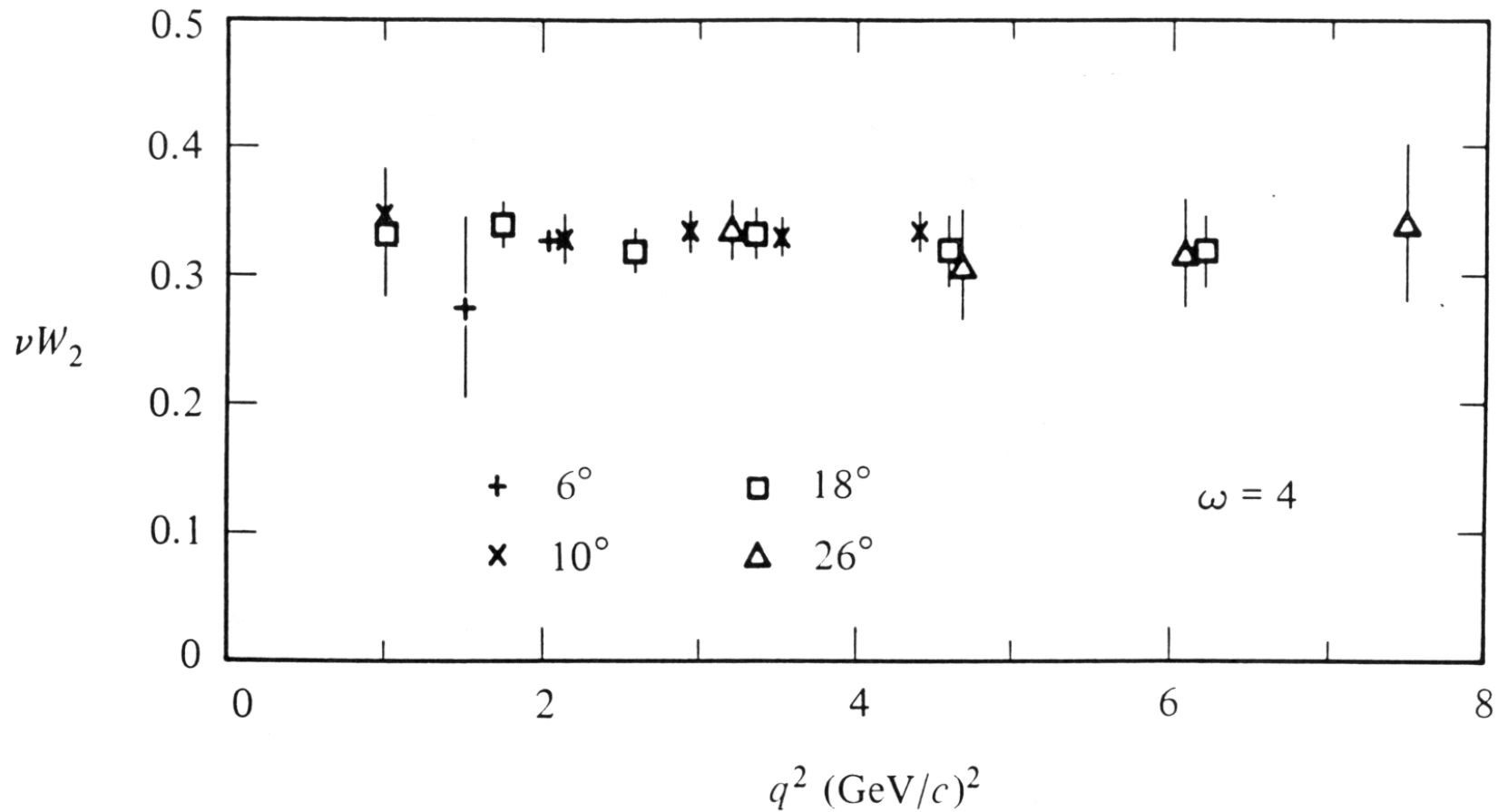


$$\frac{d^2\sigma/(dE'd\Omega)}{(d\sigma/d\Omega)_{Mott}}$$

ep inelastischer Wirkungs-  
 querschnitt relativ zum  
 Mottquerschnitt in  $\text{GeV}^{-1}$  für  
 verschiedene  $W$   
 Friedman, Kendall, Taylor  
 et al., Phys. Rev. Lett. 23  
 (1969) 935

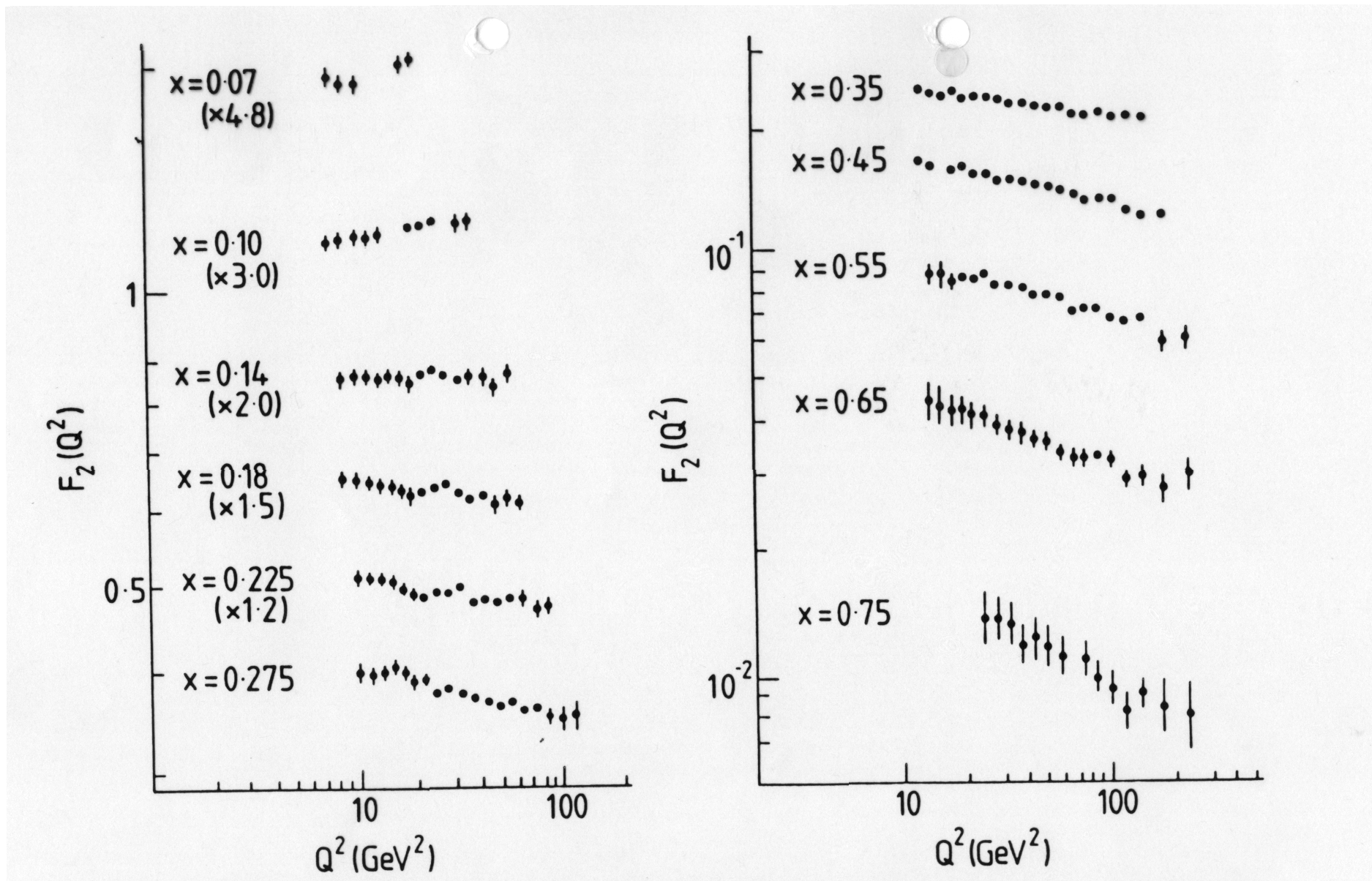


inelastische Streuung bei verschiedenen Streuwinkeln am Proton  
für  $W > 2$  GeV als Funktion von  $q^2$



Friedman and Kendall, Annu. Rev. Nucl. Part. Sci. 22 (1972) 203

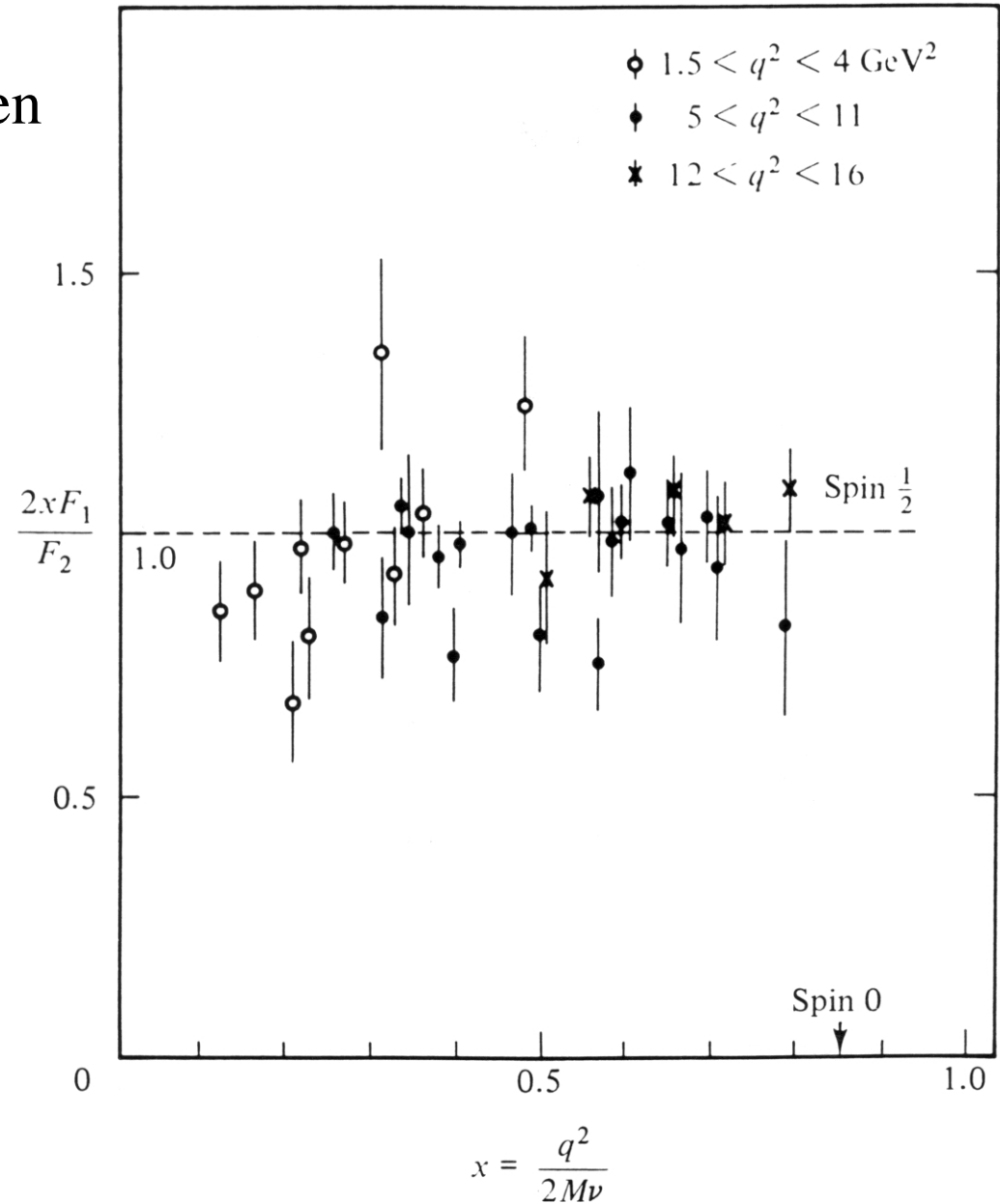
gemessene Strukturfunktion  $F_2$  aus tiefinelastischer Muonstreuung  
für verschiedene Inelastizität  $x$  als Funktion von  $q^2$   
kleine bis moderate 'scaling violations'



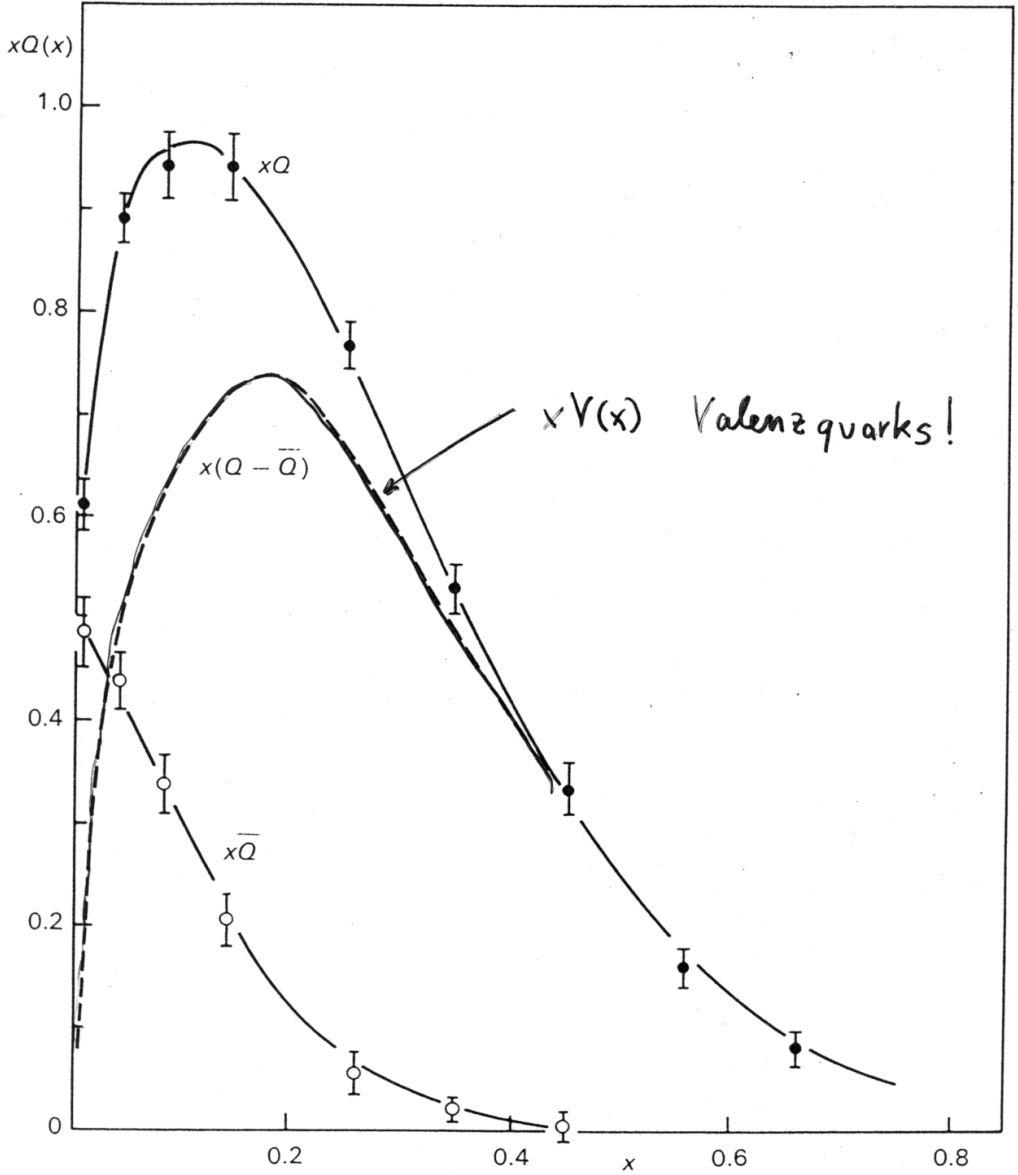
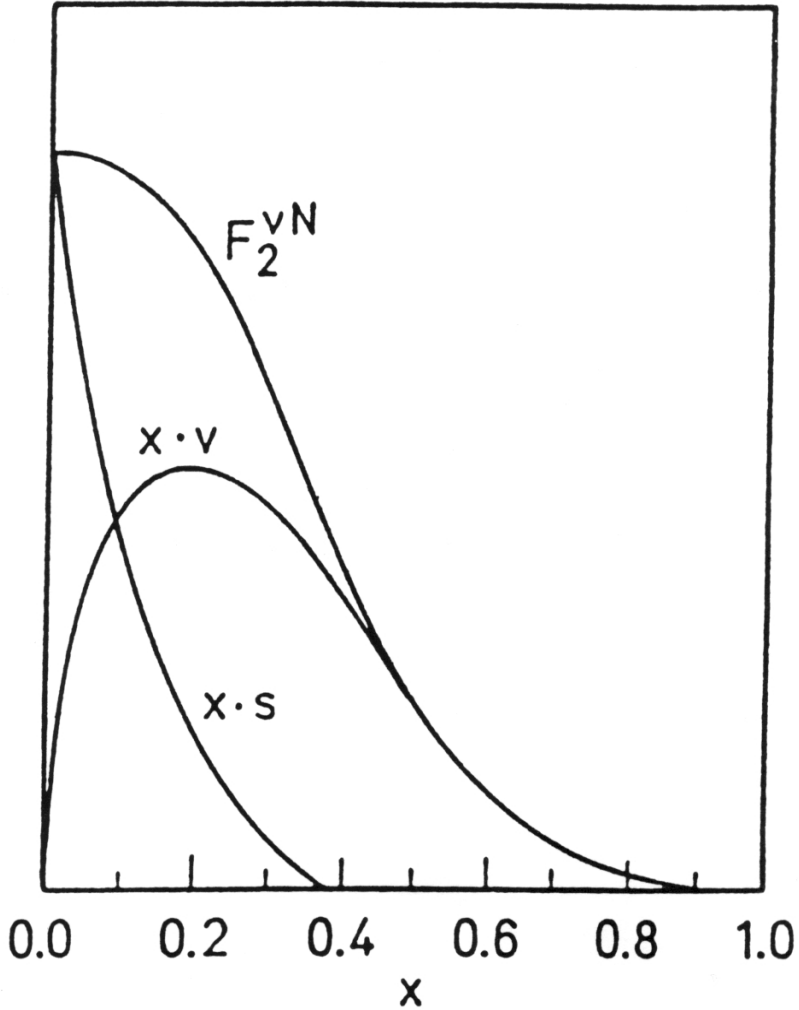
# gemessenes Verhältnis $2xF_1/F_2$ aus tiefinelastischer Elektron-Proton Streuung bei SLAC

## Callan-Gross Beziehung

$2xF_1/F_2 = 1$  für Spin  $1/2$  Fermionen



Impulsverteilung von Quarks und Antiquarks im Nukleon gemessen bei  $q^2 = 10 \text{ GeV}^2$   
 aus Neutrino und Antineutrino-Streuung am Proton bei CERN und Fermilab



## **CERN Exkursion 20. - 21. Februar**

2 Busse und 2 Gruppen a 46 Studenten

**web-Anmeldung ab 5.12.2007 offen – bereits 54 registriert**

'CERN Exkursion' unter Veranstaltungen des WS07/08

Kosten: Uebernachtung Jugendherberge Genf ca. 29 CHF plus Bus

Antrag Unterstuetzung aus Studiengebuehren von Studenten

(A. Jablonska und Co.)

man kann mit Buskosten rechnen, vielleicht auch Uebernachtung

## **Teilnahme an der Nobelpreistraegertagung in Lindau**

Juni 2008 - Fakultaet kann einige sehr gute Studenten nominieren

Ausschreibung auf der Fakultaetswebseite – **Bewerbungen bis 8.1.2008**

# Tief-inelastische Lepton-Nukleon Streuung

Fuelastizität  
 $0 \leq x \leq 1$

$$x = \frac{-q^2}{2Mv}$$

Energieübertrag

$$v = E - E'$$

$$\text{bzw } y = v/E$$

$$\frac{d^2\sigma}{dq^2 dv} = \frac{4\pi\alpha^2\hbar^2}{q^4} \frac{E'}{Ev} \left( F_2 \cos^2\left(\frac{\theta}{2}\right) + \frac{2v}{M} F_1 \sin^2\left(\frac{\theta}{2}\right) \right)$$

oder für Streuung an Quarks mit Ladung  $ze$

$$\frac{d^2\sigma}{dq^2 dx} = \frac{4\pi\alpha^2 z^2 \hbar^2}{q^4} \frac{E'}{E} \left( F_2 \cos^2\left(\frac{v}{z}\right) + \frac{q^2}{2M^2 x^2} 2x F_1 \sin^2\left(\frac{\theta}{z}\right) \right) \frac{1}{x}$$

vgl. mit Dirac-Querschnitt

$$\frac{d\sigma}{dq^2} = \frac{4\pi\alpha^2 z^2 \hbar^2}{q^4} \frac{E'}{E} \left( \cos^2\left(\frac{\theta}{z}\right) + \frac{q^2}{2m^2} \sin^2\left(\frac{v}{z}\right) \right)$$

Koeffizientenvergleich mit  $m^2 = x^2 M^2 \rightarrow$

Callan-Gross Bez.  $2x F_1 / F_2 = 1$

Bestätigung  $\rightarrow$  Quarks haben Spin  $1/2$

Vergleich Neutrino-Nukleon tief-  
inelastische Streuung (CERN PS) mit  
Elektron-Nukleon Streuung (SLAC)  
bei vergleichbarem  $q^2$

Bestätigung der fraktionalen Quark-  
Ladungen  $1/3$  und  $2/3$

totales Integral unter der Kurve  
misst Impulsbruchteil des Nukleons,  
der von Quarks getragen wird zu  
 $50\%$

